



بررسی نقش تستوسترون در مقاومت سلول‌های بتای پانکراس و کنترل قندخون در موش‌های صحرایی نر دیابتی شده با استرپتوزوتوسین

سهیلا منصورپور^۱، ذبیح‌اله عزیزی^۱، صدف عصایی^۱، غلامحسین رنجبرعمرانی^{۱*}

^۱ مرکز تحقیقات غدد و متابولیسم، دانشکده پزشکی، دانشگاه علوم پزشکی شیراز

چکیده

زمینه: بیماری دیابت شایع‌ترین بیماری متابولیسم کربوهیدرات‌هاست که به علت نقص در ترشح انسولین توسط پانکراس و یا نقص در عملکرد گیرنده‌های انسولینی و یا هر دو ایجاد می‌گردد. در پژوهش کنونی به بررسی نقش تستوسترون در مقاومت سلول‌های بتای پانکراس در مقابل استرپتوزوتوسین پرداخته شد.

مواد و روش‌ها: در این مطالعه تجربی ۵۶ موش صحرایی نر بالغ با وزن متوسط ۲۲۰ گرم مورد بررسی قرار گرفتند. گروه ۱ (آب و غذای کافی)، گروه ۲ (تزریق روغن زیتون)، گروه ۳ (حیوانات دیابتی شده با استرپتوزوتوسین) گروه ۴ (حیوانات گنادکتومی شده)، گروه ۵ (گنادکتومی+استرپتوزوتوسین)، گروه ۶ (هورمون جنسی+استرپتوزوتوسین)، گروه ۷ (هورمون جنسی+استرپتوزوتوسین+هورمون جنسی) موش‌های صحرایی نر تستوسترون انانات را به مقدار ۵۰ میلی‌گرم به ازای هر کیلوگرم وزن بدن به مدت چهار هفته پیش از دیابتی شدن در گروه ۶ و به مدت چهار هفته پیش و دو هفته بعد از دیابتی شدن در گروه ۷ و به صورت تزریق عضلانی دریافت کردند. برای القاء دیابت در حیوانات داری استرپتوزوتوسین (Streptozotocin)(STZ; S0130 Sigma-Ardrieh) به مقدار ۶۰ میلی‌گرم به ازای هر کیلوگرم وزن بدن که در بافر سیترات حل شده بود به صورت تک دوز و درون صفاقی تزریق گردید. تحلیل داده‌ها با استفاده از نرم‌افزار SPSS و پیرایش ۱۶ صورت گرفت.

یافته‌ها: سطح گلوکز خون در گروه‌های ۶ و ۷ دریافت کننده هورمون نسبت به گروه ۳ (دیابتی شده) و گروه ۵ (گنادکتومی دیابتی شده) کاهش معنی‌داری ($P \leq 0/001$) نشان داد و انسولین سرم در گروه‌های ۶ و ۷ نسبت به گروه ۳ و گروه ۵ افزایش معنی‌داری داشت ($P \leq 0/01$). تعداد مطلق سلول‌های جزیره‌ای در گروه‌های ۶ و ۷ نسبت به گروه ۳ و گروه ۵ افزایش معنی‌داری ($P \leq 0/001$) داشته است. نتیجه‌گیری: یافته‌ها نشان می‌دهد که هورمون تستوسترون دارای اثرات حفاظتی بر روی سلول‌های بتای پانکراس در مقابل تخریب استرپتوزوتوسین می‌باشد.

واژگان کلیدی: تستوسترون، پانکراس، استرپتوزوتوسین، استریولوژی

دریافت مقاله: ۸۹/۱۱/۲۷- پذیرش مقاله: ۹۰/۲/۱۳

* شیراز، دانشگاه علوم پزشکی شیراز، دانشکده پزشکی، مرکز تحقیقات غدد و متابولیسم

مقدمه

قندی و پیامد های مربوط به آن مهم ترین معضل پزشکی باشد (۹).

امروزه تحقیقات در زمینه پزشکی بر روی ترکیباتی متمرکز است که موجب افزایش فعالیت یا افزایش ترشح هورمون انسولین شود و یا بتواند اثرات انسولین را تقلید نماید و یا اینکه دارای اثرات آنتی اکسیدانی قوی بوده و به این ترتیب از عوارض دیابت بکاهد. از آنجائی که نتایج ضد و نقیضی در مورد تأثیرات متفاوتی که هورمون های جنسی می توانند در مقادیر مختلف و مدت زمان به کارگیری بر روی میزان غلظت پلاسمایی قندخون و انسولین سرم داشته باشند، در این پژوهش تأثیر هورمون جنسی تستوسترون انانتات در کنترل هیپرگلیسمی و مقاومت سلول های بتای پانکراس در موش های صحرایی دیابتی شده توسط استرپتوزوتوسین مورد بررسی قرار گرفت.

مواد و روش کار

مدل حیوانی

تعداد ۵۶ موش صحرایی نر بالغ با وزن تقریبی ۲۲۰-۱۹۰ گرم از نژاد (S.D)Sprague-Dawely از خانه پرورش حیوانات آزمایشگاهی دانشگاه علوم پزشکی شیراز تهیه و به اتاق نگهداری موش های صحرایی در مرکز تحقیقات غدد و متابولیسم بیمارستان نمازی شیراز منتقل شدند. حیوانات مورد نظر در شرایط آزمایشگاهی مناسب با درجه حرارت شبانه روزی به طور میانگین ۲۰ تا ۲۲ درجه سانتی گراد و شرایط نوری ۱۲ ساعت روشنایی و ۱۲ ساعت تاریکی قرار گرفتند. آب و غذا در تمام طول آزمایش بدون هیچ محدودیتی در

بیماری دیابت یک بیماری متابولیکی است که با افزایش مزمن قندخون یا هیپرگلیسمی مشخص می شود و ناشی از اختلال ترشح و یا نقص عملکرد گیرنده های انسولینی یا هر دوی آنهاست (۱ و ۲).

دیابت با اختلال های مختلفی در متابولیسم گلوکز، پروتئین و چربی همراه است و افزایش مزمن قندخون موجب تخریب، اختلال عملکرد و نارسایی اعضای مختلف از قبیل چشم، قلب و عروق و کلیه می شود (۲ و ۳).

همچنین در طی این بیماری تعدادی رادیکال آزاد و فعال تولید می شود که می تواند به مرور زمان بر روی سلول های بتای پانکراس تأثیرگذار بوده، باعث تخریب سلول های بتا و ایجاد دیابت نوع ۱ شود (۳). افزایش سطح رادیکال های آزاد و کاهش مکانیسم دفاع آنتی اکسیدانی موجب آسیب ارگانل های سلولی، آنزیم ها، افزایش پراکسیداسیون لیپیدها و افزایش مقاومت انسولینی می گردد (۴-۶) و بیان ژن و فعالیت تعدادی از آنزیم های مؤثر در حذف گونه های اکسیژن فعال (ROS)^۱ و آنتی اکسیدان هایی نظیر سوپراکسید دیس موتاز و کاتالاز در بافت هایی نظیر کبد کم می شود (۷).

کاهش بیان ژن آنزیم های آنتی اکسیدانی به نوعی موجب افزایش آسیب پذیری سلول های بتا و افزایش صدمات ناشی از رادیکال های آزاد و در نهایت مرگ سلول های بتا در بیماری دیابت نوع ۱ خواهد شد (۸). شیوع روزافزون دیابت در دنیا حدود ۲/۸ درصد گزارش شده است و علی رغم وجود داروهای مختلف به نظر می رسد که هنوز دیابت

^۱ Reactive Oxygen Species

هورمون جنسی مورد استفاده: هورمون مورد استفاده در این پژوهش شامل آمپول تستوسترون انانتات ۱۰۰ میلی‌گرم در میلی‌لیتر ساخت شرکت داروسازی ابوریحان بود.

نحوه گنادکتومی در موش‌های صحرایی نر: در مورد موش‌های نر، عمل Orchiectomy به کمک روش جراحی استاندارد و بیهوشی توسط کتامین هیدروکلرید صورت گرفت. در این روش یک برش کوچک در ناحیه پوست بیضه زده شد و سپس به آرامی و به کمک فشار دو انگشت شصت و سبابه در این ناحیه، بیضه‌ها به بیرون هدایت شدند. به منظور جلوگیری از خون‌ریزی و به کمک نخ بخیه ۳/۰ از جنس سیلک، کمی بالاتر از ناحیه‌ای که قرار بود برش زده شود، (Spermatid cord) دو بار گره زده شد و سپس به وسیله قیچی جراحی بیضه‌ها و اپیدیدیم جدا گردید. در نهایت، پوست بیضه بخیه زده شد (۱۰ و ۱۱).

روش القای دیابت

داروی استرپتوزوتوسین STZ;S0130Sigma(Ardrich) به مقدار ۶۰ میلی‌گرم به ازای هر کیلوگرم وزن بدن که در (بافر سیترات ۰/۰۱M و PH=۴/۵) با غلظت ۲۴ میلی‌گرم در میلی‌لیتر) حل شده بود، به صورت تک دوز و درون صفاقی به موش‌های صحرایی تزریق شد (۱۲). مبنای دیابتی شدن میزان بالاتر از ۲۰۰ میلی‌گرم در دسی‌لیتر قندخون در نظر گرفته شد (۱۳). بعد از گذشت ۲ هفته از تزریق داروی استرپتوزوتوسین و القای دیابت حیوانات مورد نظر کشته شدند.

اختیار آنها قرار می‌گرفت. غذای موش‌ها از نوع غذای فشرده و ساخت شرکت سهامی خوراک دام و طیور پارس تهران بود، همچنین آب مصرفی موش‌ها، آب لوله‌کشی شهرستان بود. موش‌های صحرایی نر در ۷ گروه ۸ تایی تقسیم شدند:

گروه ۱ (کنترل): که از آب و غذای کافی در طی دوره آزمایش استفاده کرده، هیچ‌گونه حلال یا عصاره‌ای دریافت نکردند.

گروه ۲ (شاهد کنترل، تزریق روغن زیتون): که به مدت ۴ هفته روزانه به مقدار ۰/۱ میلی‌لیتر روغن زیتون به صورت تزریق عضلانی دریافت کردند.

گروه ۳ (شاهد دیابتی شده): که تنها داروی استرپتوزوتوسین القاء‌کننده دیابت را دریافت کردند.

گروه ۴ (شاهد گنادکتومی شده): که تنها گنادکتومی شده و هیچ‌گونه حلال یا عصاره‌ای دریافت نکردند.

گروه ۵ (گنادکتومی+استرپتوزوتوسین): که علاوه بر اینکه گنادکتومی شدند داروی استرپتوزوتوسین را دریافت کردند.

گروه ۶ (هورمون جنسی+استرپتوزوتوسین): که در ابتدا به مدت ۴ هفته روزانه موش‌های صحرایی نر هورمون تستوسترون انانتات را به مقدار ۵۰ میلی‌گرم به ازای هر کیلوگرم وزن بدن (۱۰) و به صورت تزریق عضلانی دریافت کردند و سپس داروی استرپتوزوتوسین را دریافت کردند.

گروه ۷ (هورمون جنسی+ استرپتوزوتوسین+ هورمون جنسی): حیوانات مورد نظر در این گروه علاوه بر دریافت هورمون تستوسترون انانتات به مدت ۴ هفته، یک روز بعد از تزریق استرپتوزوتوسین مجدداً به مدت ۲ هفته دیگر روزانه هورمون تستوسترون انانتات را به مقدار ۵۰ میلی‌گرم به ازای هر کیلوگرم وزن بدن دریافت کردند.

نمونه‌گیری از خون و اندازه‌گیری گلوکز و انسولین

موش‌های صحرایی در مراحل اول و دوم بعد از ۱۲ ساعت ناشتایی با قرار گرفتن در جار شیشه‌ای حاوی پنبه و اتر بیهوش شدند (۱۴). قبل از شروع خون‌گیری حیوانات به وسیله ترازوی معمولی با دقت ۰/۱ گرم وزن می‌شدند. سپس حیوان مورد نظر را در جعبه Restway قرار داده و با برش زدن انتهای دم توسط اسکارپیل عمل خون‌گیری از دم انجام شد.

پس از اتمام دوره در آخرین مرحله، خون‌گیری از قلب حیوان صورت گرفت. خون جمع‌آوری شده در لوله‌های استریل ویژه خون‌گیری به وسیله دستگاه سانتیفریژ با دور ۳۰۰۰ در دقیقه و به مدت ۱۵ دقیقه سانتیفریژ گردید و سرم آن به وسیله سمپلر و سرسمپلر جدا و در لوله‌های مخصوص سرم‌گیری تا زمان سنجش گلوکز و انسولین در دمای ۷۰- درجه نگهداری شد. گلوکز سرم به روش آنزیماتیک کالریمتری و با استفاده از کیت گلوکز شرکت Biosystem اسپانیا و انسولین سرم به روش RIA و با استفاده از کیت حساس انسولین رت ساخت شرکت GRG آلمان اندازه‌گیری شد.

استریولوژی

برای مطالعات استریولوژیک تعیین نحوه برش‌گیری از مقاطع بافتی دارای اهمیت است. در این مطالعه از روش Orientator Clock برای برش بافت‌ها استفاده شد برش‌های تهیه شده از نوع، Isotropic Uniform Random (IUR) بودند. به‌طور خلاصه، هر پانکراس، در آغاز بر روی مرکز دایره‌ای که از ۱ تا ۹۹ قسمت مساوی تشکیل شده بود، گذاشته شد.

پس از انتخاب یک عدد به صورت تصادفی، در اینجا ۶۱ در امتداد قطر مربوطه برش زده شد. سپس قطعات به دست آمده از قسمت سطح صاف و برش خورده خود بر روی دایره دوم که از ۱ تا ۹۹ قسمت نامساوی تشکیل شده بود، قرار گرفتند و دوباره با انتخاب یک عدد تصادفی، در اینجا ۳۰ مجدداً در امتداد این زاویه برش زده می‌شود، سپس نمونه‌ها و قطعات به دست آمده در آگار یا پارافین جهت قالب‌گیری و برش‌گیری توسط میکروتوم گذاشته شده و برش‌های ۵ و ۱۵ میکرونی از هر بافت تهیه شد و در پایان به روش هماتوکسیلین - ائوزین (H&E) رنگ‌آمیزی شد.

آماده‌سازی بافت

بعد از خون‌گیری از قلب حیوان، از راه بطن چپ، ۵۰۰ میلی‌لیتر محلول بافر شده‌ی فرمالدئید (چهار درصد) در مدت ۵ دقیقه و با فشار ۱۲۰ میلی‌متر جیوه، به دستگاه گردش خون جاندار وارد شد. برای خروج خون و محلول، دهلیز راست نیز باز گردید. پس از ثبوت کامل بافت‌ها، پانکراس حیوان جهت برش‌گیری و رنگ‌آمیزی خارج شد (۱۵).

الف: روش محاسبه حجم بافت پانکراس با استفاده از

اصول کاوالیه: در این روش پس از آنکه تصویر نمونه‌ها روی میز کار انداخته شده، شبکه نقاط استاندارد به‌طور تصادفی روی تصویر انداخته شد و برای محاسبه حجم پانکراس و حجم جزایر، شمارش نقاط با استفاده از اصول کاوالیه^۲ صورت گرفت و حجم با استفاده از فرمول زیر محاسبه گردید:

² Cavalieri's Principle

می‌باشد. برای محاسبه تعداد مطلق سلول‌های جزیره‌ای پانکراس از فرمول زیر استفاده شد (۱۶).

$$N = N_v \times V$$

تجزیه و تحلیل آماری

برای مقایسه‌ی متغیرها در گروه‌های مختلف، از آنالیز آماری SPSS (USA, Il, Chicago, SPSS Inc) ویرایش ۱۶ و آزمون t-test در سطح معنی‌دار (p ≤ ۰/۰۵) استفاده شد.

یافته‌ها

سطح گلوکز خون در گروه‌های ۶ و ۷ (دریافت کننده هورمون تستوسترون انانتات) نسبت به گروه ۳ (شاهد دیابتی شده) و گروه ۵ (گنادکتومی دیابتی شده) کاهش معنی‌داری را نشان داد (P ≤ ۰/۰۰۱). کاهش قندخون در گروه ۷ که هورمون تستوسترون را ۲ هفته دیگر بعد از تزریق استریتوزوتوسین نیز دریافت کرده بودند بیشتر از گروه ۶ بود که تنها قبل از دیابتی شدن هورمون را دریافت کرده بودند. اما این کاهش معنی‌دار نبود. همچنین گروه ۵ قند بیشتری نسبت به گروه ۳ نشان داد هر چند که این افزایش نیز معنی‌دار نبود (جدول ۱) (نمودار الف).

$$V = \frac{\sum p \times a(\text{point}) \times t}{M^2}$$

در این فرمول $\sum p$ تعداد نقاطی است که با بافت موردنظر برخورد کرده باشند. $a(\text{point})$ مساحت مربوط به اطراف هر نقطه است. t ضخامت متوسط برش و M^2 مربع بزرگ‌نمایی است (۱۶).

ب: روش محاسبه تعیین چگالی عددی و تعداد مطلق سلول‌های جزایر پانکراس:

$$N_v = \frac{\sum Q}{a(\text{Frame}) \times h \times \sum p}$$

$\sum Q$ مجموع سلول‌های شمارش شده جزایر به وسیله Counting Frame مربوط به یک بافت کامل پانکراس می‌باشد.

$\sum p$ مجموع فریم‌های شمارش شده در برخورد با جزایر پانکراس می‌باشد. $a(\text{Frame})$ مساحت فریم انتخاب شده با توجه به بزرگ‌نمایی M می‌باشد و h ارتفاع Disector و ضخامتی که در آن سلول‌ها شمارش می‌شدند که در اینجا در حدود ۵ میکرومتر

جدول ۱) نتایج به‌دست آمده از میزان قندخون در موش‌های صحرایی نر بر حسب میلی‌گرم/دسی لیتر در مراحل اول (قبل از انجام پژوهش) دوم (بعد از تزریق هورمون) و سوم (بعد از دیابتی شدن).

تعداد نمونه	مرحله سوم میلی‌گرم/دسی لیتر	مرحله دوم میلی‌گرم/دسی لیتر	مرحله اول میلی‌گرم/دسی لیتر	گروه‌های مختلف (موش‌های نر)
۸	۷۰±۹۲/۸	۴/۵±۸۸/۶	۴/۴±۸۶/۴	گروه ۱ (کنترل)
۸	۲/۳±۹۶/۶	۳/۰±۹۵/۰	۳/۴±۸۹/۰	گروه ۲ (روغن زیتون)
۸	*۴۰/۱±۴۶۷/۸	۹۵/۳±۶/۵	۴/۱±۵/۸۹	گروه ۳ (استریتوزوتوسین)
۸	۴/۳±۹۵/۶	۶/۰±۹۲/۲	۲/۵±۸۷/۲	گروه ۴ (گنادکتومی شده)
۸	*۳۴/۸±۴۸۰/۶	۴/۶±۹۰/۳	۴/۱±۹۱/۶	گروه ۵ گنادکتومی+استریتوزوتوسین
۸	*۴۶/۹±۳۳۰/۳	۵/۰±۹۱/۷	۵/۰±۸۹/۱	گروه ۶ تستوسترون+استریتوزوتوسین
۸	*۴۸/۱±۳۱۷/۶	۴/۳±۹۰/۵	۵/۳±۹۱/۰	گروه ۷ تستوسترون+استریتوزوتوسین+تستوسترون

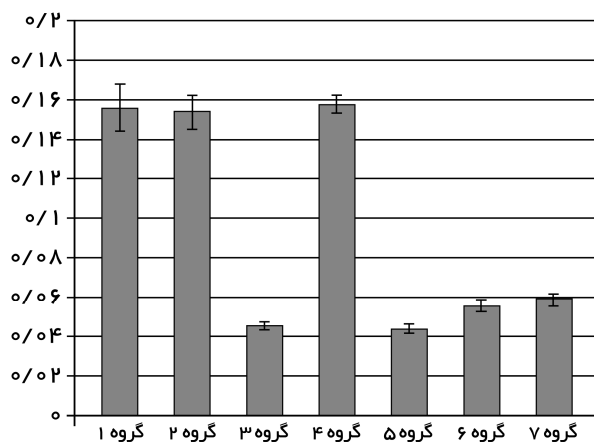
*اختلاف معنی‌دار با گروه ۱ (کنترل)، گروه ۲ (روغن زیتون) و گروه ۴ (شاهد گنادکتومی شده) (P < ۰/۰۵).

و گروه‌های ۶ و ۷ (دریافت کننده تستوسترون انانتات) نسبت به گروه ۱ (کنترل) کاهش معنی‌داری را ($P \leq 0.01$) ($P \leq 0.05$) نشان داده است. همچنین تعداد مطلق سلول‌های جزیره‌ای در گروه‌های ۶ و ۷ (دریافت کننده تستوسترون انانتات) نسبت به گروه‌های ۳ (شاهد دیابتی شده) و ۵ (گنادکتومی دیابتی شده) افزایش معنی‌داری ($P \leq 0.05$) ($P \leq 0.01$) داشته است.

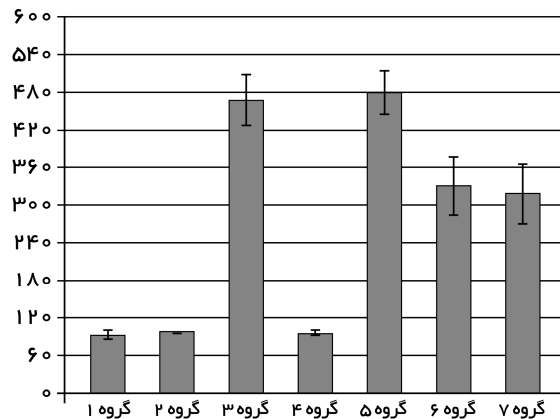
جدول ۲) نتایج به دست آمده از غلظت انسولین سرم درموش‌های صحرایی نر برحسب نانو گرم / میلی لیتر

تعداد نمونه	انسولین مرحله سوم (نانو گرم / میلی لیتر)	گروه‌های مختلف
۸	۰/۰۱۲±۰/۱۵۶	گروه ۱ (کنترل)
۸	۰/۰۰۹±۰/۱۵۴	گروه ۲ (روغن زیتون)
۸	*۰/۰۰۲±۰/۰۴۵	گروه ۳ (استرپتوزوتوسین)
۸	۰/۰۰۵±۰/۱۵۸	گروه ۴ (گنادکتومی شده)
۸	*۰/۰۰۲±۰/۰۴۳	گروه ۵ (گنادکتومی + استرپتوزوتوسین)
۸	*۰/۰۰۳±۰/۰۵۵	گروه ۶ (تستوسترون + استرپتوزوتوسین)
۸	*۰/۰۰۷±۰/۰۵۸	گروه ۷ (تستوسترون + استرپتوزوتوسین + تستوسترون)

* اختلاف معنی‌دار با گروه ۱ (کنترل)، گروه ۲ (روغن زیتون) و گروه ۴ (شاهد گنادکتومی شده) ($P < 0.05$)



نمودار ب) مقایسه میانگین غلظت سرمی انسولین خون در حیوانات (مرحله سوم). داده‌ها به صورت میانگین ± خطای استاندارد نمایش داده شده‌اند. * نشان‌دهنده اختلاف معنی‌دار با گروه ۱ (کنترل)، گروه ۲ (روغن زیتون) و گروه ۴ (شاهد گنادکتومی شده) ($P < 0.05$) *** نشان‌دهنده اختلاف معنی‌دار با گروه ۱ (کنترل)، گروه ۲ (روغن زیتون) و گروه ۴ (شاهد گنادکتومی شده) ($P < 0.01$)



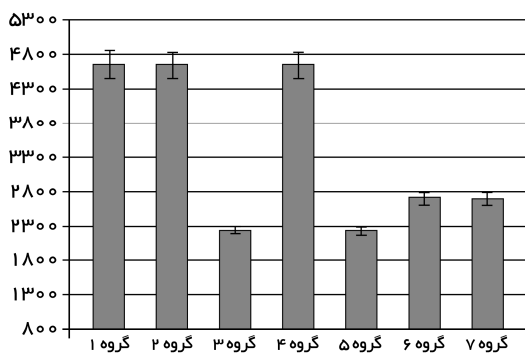
نمودار الف) مقایسه میانگین قندخون در حیوانات انسولین خون در حیوانات (مرحله سوم). داده‌ها به صورت میانگین ± خطای استاندارد نمایش داده شده‌اند. * نشان‌دهنده اختلاف معنی‌دار با گروه ۱ (کنترل)، گروه ۲ (روغن زیتون) و گروه ۴ (شاهد گنادکتومی شده) ($P < 0.05$) *** نشان‌دهنده اختلاف معنی‌دار با گروه ۱ (کنترل)، گروه ۲ (روغن زیتون) و گروه ۴ (شاهد گنادکتومی شده) ($P < 0.01$)

میزان سرم انسولین خون در گروه‌های ۶ و ۷ (دریافت کننده هورمون تستوسترون انانتات) در مرحله سوم، افزایش معنی‌داری نسبت به گروه ۳ (شاهد دیابتی شده) و گروه ۵ (گنادکتومی دیابتی شده) ($P \leq 0.01$) ($P \leq 0.05$) نشان داد (جدول ۲) (نمودار ب). حجم پانکراس در گروه‌های مختلف مورد آزمایش تقریباً یکسان بوده و تغییرات معنی‌داری را نشان نداده است. همچنین تعداد جزایر پانکراس در گروه‌های مختلف نسبت به گروه کنترل تغییرات معنی‌داری را نشان نداده است. حجم جزایر در گروه ۳ (شاهد دیابتی شده)، گروه ۵ (گنادکتومی دیابتی شده) و گروه‌های ۶ و ۷ دریافت کننده تستوسترون انانتات نسبت به گروه ۱ (کنترل) کاهش معنی‌داری را ($P \leq 0.05$) ($P \leq 0.01$) نشان داده است.

حجم پانکراس در گروه‌های ۶ و ۷ (دریافت کننده تستوسترون انانتات) کمی بیشتر از گروه ۳ (دیابتی شده) و گروه ۵ (گنادکتومی دیابتی شده) می‌باشد، اما این تغییر معنی‌دار نمی‌باشد. تعداد مطلق سلول‌های جزایر پانکراس در گروه‌های ۳ (شاهد دیابتی شده)، ۵ (گنادکتومی دیابتی شده)

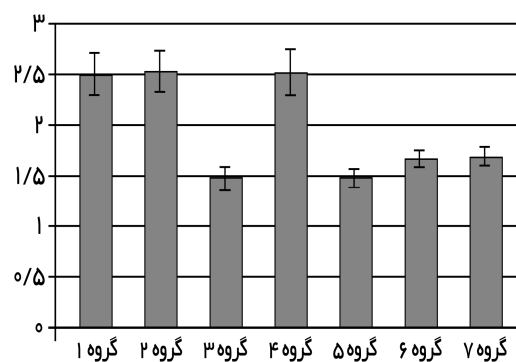
تزریق STZ هورمون تستوسترون را دریافت کردند، وجود ندارد (نمودار پ و ت) (جدول ۳) (شکل‌های میکروسکوپی ۱ و ۲).

تعداد مطلق سلول‌های جزایر پانکراس در گروه دریافت‌کننده تستوسترون انانات به مدت ۴ هفته قبل از تزریق STZ تفاوت معنی‌داری نسبت به گروهی که علاوه بر این ۴ هفته، به مدت ۲ هفته دیگر بعد از



نمودار ت) مقایسه میانگین تعداد مطلق سلول‌های جزیره ای در حیوانات (مرحله سوم) داده‌ها به صورت میانگین±خطای استاندارد نمایش داده شده‌اند.

* نشان‌دهنده اختلاف معنی‌دار با گروه ۱ (کنترل)، گروه ۲ (روغن زیتون) و گروه ۴ (شاهد گنادکتومی شده) ($P < 0.05$) ** نشان‌دهنده اختلاف معنی‌دار با گروه ۱ (کنترل)، گروه ۲ (روغن زیتون) و گروه ۴ (شاهد گنادکتومی شده) ($P < 0.01$) *** نشان‌دهنده اختلاف معنی‌دار با گروه ۱ (کنترل)، گروه ۲ (روغن زیتون) و گروه ۴ (شاهد گنادکتومی شده) ($P < 0.001$).



نمودار پ) مقایسه میانگین حجم پانکراس در حیوانات داده‌ها به صورت میانگین±خطای استاندارد نمایش داده شده‌اند.

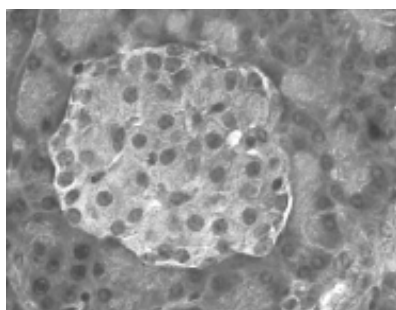
* نشان‌دهنده اختلاف معنی‌دار با گروه ۱ (کنترل)، گروه ۲ (روغن زیتون) و گروه ۴ (شاهد گنادکتومی شده) ($P < 0.05$) ** نشان‌دهنده اختلاف معنی‌دار با گروه ۱ (کنترل)، گروه ۲ (روغن زیتون) و گروه ۴ (شاهد گنادکتومی شده) ($P < 0.01$) *** نشان‌دهنده اختلاف معنی‌دار با گروه ۱ (کنترل)، گروه ۲ (روغن زیتون) و گروه ۴ (شاهد گنادکتومی شده) ($P < 0.001$).

جدول ۳) نتایج به دست آمده از حجم پانکراس و حجم جزایر پانکراس بر حسب میلی‌متر مکعب، تعداد مطلق سلول‌های

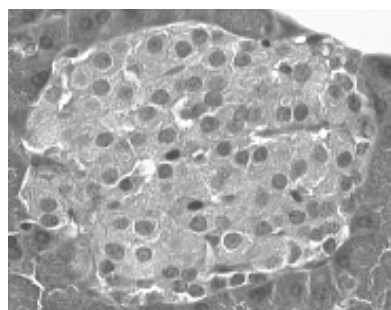
جزیره‌ای و تعداد جزایر پانکراس در موش‌های صحرایی نر

گروه‌های مختلف	حجم کل پانکراس میلی‌متر مکعب	حجم جزایر پانکراس میلی‌متر مکعب	تعداد مطلق سلول‌های جزیره‌ای	تعداد جزایر پانکراس
گروه ۱ (کنترل)	22.7 ± 0.2	2.50 ± 0.21	2082 ± 4639.8	23.6 ± 0.9
گروه ۲ (روغن زیتون)	22.5 ± 0.2	2.53 ± 0.20	1983 ± 4634.1	22.7 ± 0.9
گروه ۳ (استرپتوزوتوسین)	21.9 ± 0.1	1.47 ± 0.12*	2230.6 ± 52.6*	20.9 ± 0.5
گروه ۴ (گنادکتومی شده)	22.1 ± 0.2	2.52 ± 0.23	1899 ± 4633.9	22.9 ± 0.9
گروه ۵ (گنادکتومی + استرپتوزوتوسین)	21.2 ± 0.1	1.48 ± 0.09*	533 ± 2212.5*	20.1 ± 0.5
گروه ۶ (تستوسترون + استرپتوزوتوسین)	22.4 ± 0.1	1.68 ± 0.08*	1000 ± 2684.0	21.1 ± 0.3
گروه ۷ (تستوسترون + استرپتوزوتوسین + تستوسترون)	22.3 ± 0.1	1.70 ± 0.09*	2688 ± 495.3*	20.6 ± 0.3

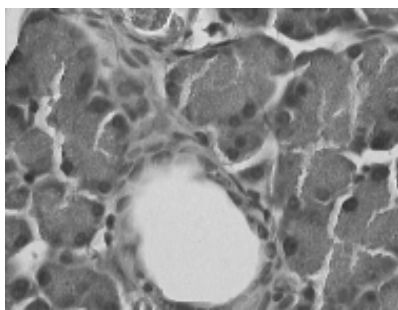
* اختلاف معنی‌دار با گروه ۱ (کنترل)، گروه ۲ (روغن زیتون) و گروه ۴ (شاهد گنادکتومی شده) ($P < 0.05$)



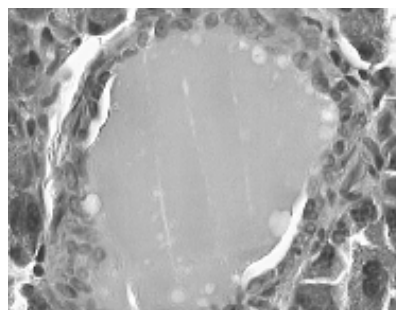
ب



الف



ت



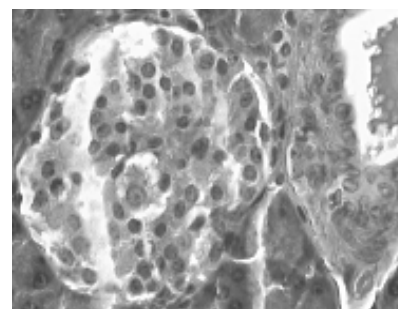
پ

شکل ۱) تصاویر میکروسکوپ نوری پانکراس در موش‌های صحرایی نر
الف) گروه ۱ (کنترل) (پانکراس طبیعی)، ب) گروه ۴ (شاهد گنادکتومی شده) (پانکراس طبیعی)، پ) گروه ۳ (شاهد دیابتی شده) (تخریب سلول‌های بتای پانکراس)،
ت) گروه ۵ (گنادکتومی دیابتی شده) (تخریب سلول‌های بتای پانکراس)

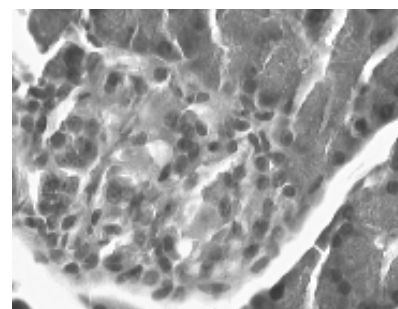
آزمایش استرس تزریق دارو تأثیری بر میزان قندخون حیوانات نداشته است و روغن زیتون نیز بی‌اثر بوده است و افزایش قندخون حیوانات مورد مطالعه فقط در نتیجه استفاده از استرپتوزوتوسین و تخریب سلول‌های بتا بوده است.

گروه‌های دریافت کننده تستوسترون مقاومت بیشتری را نسبت به دیابتی شدن نشان دادند و قندخون کمتری را نسبت به گروه شاهد دیابتی نشان دادند. تستوسترون باعث افزایش حساسیت بافت‌ها در جذب گلوکز خون می‌شود. همچنین باعث کاهش مقاومت انسولینی در جنس نر می‌شود. بنابراین هر چه قدر انسولین در اختیار فرد باشد در حضور هورمون تستوسترون مؤثر بوده و کارایی دارد (۱۷).

تستوسترون سرعت تبدیل گلوکز خون به منابع سلولی گلیکوژن را افزایش می‌دهد (۱۸). بنابراین به نظر می‌رسد که مقدار بالای هورمون نیز تأثیر مثبتی بر روی گلوکز خون داشته و سبب ایجاد اختلال در متابولیسم کربوهیدرات نشده است. از سوی دیگر مطالعات وجود تعداد فراوان گیرنده‌های آندروژنی را در سلول‌های بتای پانکراس ثابت کرده است و از آنجا که هورمون‌های استروئیدی دارای خاصیت آنتی‌اکسیدانی قدرتمندی هستند. می‌توان نتیجه گرفت که تستوسترون با خنثی کردن رادیکال‌های آزاد



ج



ج

شکل ۲) تصاویر میکروسکوپ نوری پانکراس در موش‌های صحرایی نر
ج و ج) گروه ۶ و ۷ دریافت‌کننده هورمون تستوسترون اناتانت (مقاومت سلول‌های بتای پانکراس)

بحث

استفاده از گروه ۲ (تزریق روغن زیتون) صرفاً جهت بررسی تأثیر استرس تزریق دارو بر تخریب سلول‌های بتا و احیانا افزایش قندخون حیوانات و همچنین بررسی اثر روغن زیتون در مقاومت سلول‌های بتای پانکراس بوده است که با مشاهده نتایج و مقایسه آن با گروه ۱ (کنترل) به نظر می‌رسد که در مدت انجام این

معنی‌داری را نشان نداد. برخی مطالعات نیز نشان داده است که گنادکتومی در موش‌های صحرایی نر تأثیر معنی‌داری بر انسولین سرم ندارد (۲۲). هر چند در برخی از مقالات اشاره شده است به اینکه گنادکتومی باعث کاهش انسولین سرم می‌شود (۱۰).

این مطالعه نشان داده است که تستوسترون از تخریب بیشتر سلول‌های بتای پانکراس در مقابل استرپتوزوتوسین نسبت به گروه شاهد دیابتی و گروه گنادکتومی دیابتی شده، به‌طور چشمگیری جلوگیری کرده است. تعداد مطلق سلول‌های جزایر پانکراس در گروه دریافت‌کننده تستوسترون انانتات در گروهی از حیوانات نر به مدت ۴ هفته قبل از تزریق استرپتوزوتوسین تفاوت معنی‌داری را نسبت به گروهی که علاوه بر این ۴ هفته، به مدت ۲ هفته دیگر بعد از تزریق استرپتوزوتوسین هورمون جنسی را دریافت کردند، وجود ندارد. شاید بتوان نتیجه‌گیری کرد که هورمون جنسی تنها در حفاظت سلول‌های بتا از تخریب بیشتر مؤثر بوده و در ترمیم سلول‌های بتای تخریب شده چندان مؤثر نمی‌باشد.

هیپرگلیسمی ایجاد شده توسط استرپتوزوتوسین تولید رادیکال‌های آزاد را افزایش می‌دهد و باعث غیرفعال شدن آنزیم‌های آنتی‌اکسیدانی و در نهایت تخریب سلول‌های بتای پانکراس می‌شود (۲۳).

مکانیسم سلولی که نشان دهنده نقش حفاظتی تستوسترون از سلول‌های بتای پانکراس در مقابل تخریب آپوپتوزی استرپتوزوتوسین در موش‌های صحرایی نر باشد چندان شناخته شده نیست (۲۴). این بررسی نشان می‌دهد که تستوسترون تا اندازه‌ای از تخریب سلول‌های بتا در مقابل استرپتوزوتوسین جلوگیری کرده است. به‌نظر می‌رسد این تأثیر محافظتی تا حدود زیادی توسط گیرنده‌های آندروژنی

می‌تواند از تخریب بیشتر سلول‌های بتای پانکراس در مقابل استرپتوزوتوسین جلوگیری کرده و به این ترتیب از هیپرگلیسمی بیشتر جلوگیری کند (۱۹). شاید به همین علت گروه‌های گنادکتومی قندخون بیشتری را نسبت به گروه شاهد دیابتی نشان دادند هرچند این افزایش معنی‌دار نبود.

در مطالعه کنونی سطوح انسولینی سرم در مرحله سوم در گروه‌های دریافت‌کننده هورمون در موش‌های صحرایی دریافت‌کننده تستوسترون انانتات افزایش معنی‌داری را نسبت به گروه شاهد دیابتی نشان داد. در مورد هورمون تستوسترون به‌نظر می‌رسد که این هورمون به واسطه گیرنده‌های آندروژنی خود در سلول‌های بتای پانکراس و نیز افزایش فعالیت پروموتور I انسولین، بر روی رونویسی ژنی انسولین تأثیرگذار بوده و باعث افزایش انسولین سرم شود (۲۰). همچنین تستوسترون با تحریک افزایش کلسیم داخل سلولی مربوط به سلول‌های بتای پانکراس باعث افزایش ترشح و آزادسازی انسولین می‌شود (۲۰). از طرف دیگر به‌نظر می‌رسد که تستوسترون مانع از عملکرد آنزیم‌های کاهش‌دهنده انسولین باشند (۱۶). همه این تأثیرات به واسطه گیرنده‌های آندروژنی هسته‌ای آن میانجی‌گری می‌شود (۲۰).

همان‌گونه که پیش از این اشاره شد تستوسترون به واسطه داشتن خاصیت آنتی‌اکسیدانی قوی در نتیجه خشی کردن رادیکال‌های آزاد شکل گرفته به واسطه عملکرد استرپتوزوتوسین از تخریب بیشتر سلول‌های بتای پانکراس جلوگیری کرده و احتمالاً یکی دیگر از مکانیسم‌های افزایش معنی‌دار انسولین در گروه‌های دریافت‌کننده تستوسترون نسبت به شاهد دیابتی در مرحله آخر باشد (۲۱). همچنین در این بررسی انسولین گروه گنادکتومی نسبت به گروه شاهد سالم تغییرات

پیشگیری از بیماری دیابت نوع ۱ ایفا می‌نماید. همچنین استریولوژی می‌تواند به‌عنوان روشی دقیق در تعیین تغییرات بافت پانکراس کاربرد داشته باشد و در آسیب‌شناسی بالینی و تجربی به‌عنوان یک روش قوی و کارآمد در تشخیص و پیش‌آگهی بیماری دیابت در نتیجه آسیب و تخریب بافت پانکراس به‌کار رود. با توجه به محدودیت‌های موجود امکان استفاده از رنگ‌آمیزی مخصوص سلول‌های بتای پانکراس در این مطالعه فراهم نگردید. مسلماً استفاده از رنگ‌آمیزی‌هایی که سبب تفکیک و تشخیص بهتر و بیشتر سلول‌های بتا نسبت به دیگر سلول‌های پانکراس شود باعث کسب نتایج دقیق‌تر و قطعی‌تری در این پژوهش خواهد شد.

سپاس و قدردانی

نویسندگان لازم می‌دانند از حمایت‌های مسئولان محترم مرکز تحقیقات و غدد بیمارستان نمازی وابسته به دانشگاه علوم پزشکی شیراز که زمینه‌های لازم برای انجام این پژوهش را فراهم نموده‌اند، صمیمانه سپاس‌گزاری نمایند.

References:

1. Kuzuya T, Nakagawa S, Satoh J, et al. Report of the Committee on the classification and diagnosis criteria of diabetes mellitus. *Diabetes Res Clin Prac* 2002; 55: 65-85.
2. Bahreini F, Mohaddes Ardebili SM, Farajnia S, et al. A study on association of SNP-43 polymorphism in Calpain-10 gene with type 2 diabetes mellitus in the population of Eastern Azerbaijan province. *ISMJ* 2012; 1: 35-41.
3. Mohamed AK, Bierhaus A, Schiekofer S, et al. The role of oxidative stress and NF-kappaB activation in late diabetic complications. *Biofactors* 1999; 10: 157-67.
4. Maritim AC, Sanders RA, Watkins JB 3rd. Diabetes, oxidative stress, and antioxidants: a review. *J Biochem Mol Toxicol* 2003; 17: 24-38.
5. Evans JL, Goldfine LD, Maddux BA, et al. Oxidative stress and stress-activated signaling pathways: a unifying hypothesis of type 2 diabetes. *Endocr Rev* 2002; 23: 599-622.
6. Brownlee M. Biochemistry and molecular cell biology of diabetic complications. *Nature* 2001; 414: 813-20.
7. Barbera A, Gomis RR, Prats N, et al. Tungstate is an effective antidiabetic agent in streptozotocin-induced diabetic rat: a long-term study. *Diabetologia* 2001; 44: 507-13.
8. Ho E, Bray TM. Antioxidants, NFkappaB activation, and diabetogenesis. *Proc Soc Exp Biol Med* 1999; 22: 205-13.
9. Wild S, Roglic K, Green A, et al. Global prevalence of diabetes: estimation for the year 2000 and projections for 2030. *Diabetes Care*

میانجی‌گری شود، به‌علاوه آندروژن‌ها، آنزیم‌هایی را که به سلول‌ها برای رهایی از تخریب کمک می‌کنند تنظیم می‌کنند و باعث افزایش فعالیت آنتی‌اکسیدانی آنها می‌شوند (۲۴). همچنین بر اساس مطالعاتی که در سال ۲۰۰۱ صورت گرفته، نشان داده است که تستوسترون باعث کاهش نیتریک اکسید یکی از عوامل مؤثر در تخریب سلول‌های بتا می‌شود (۲۴). مکانیسم دیگری که برای استروئیدهای جنسی از جمله تستوسترون در حفاظت از سلول‌های بتای پانکراس در مقابل تخریب استرپتوزوتوسین می‌توان به‌کار برد، ویژگی‌های آنتی‌اکسیدانی آنهاست (۲۵ و ۲۶).

نتایج کلی مطالعه‌ی کنونی با تحقیقات کیفی و کمی دیگر هم‌خوانی دارد. همچنین دستاورد مهم این تحقیق آن است که به روشنی نشان می‌دهد بین هورمون جنسی تستوسترون و بیماری دیابت رابطه وجود دارد.

و در عین حال می‌توان نتیجه گرفت هورمون جنسی تستوسترون به‌عنوان یک آنتی‌اکسیدان قوی از تخریب بیشتر سلول‌های بتای پانکراس در مقابل استرپتوزوتوسین جلوگیری کرده و نقش مهمی در

- 2004; 27: 1047-53.
10. Ahmadi R, Oryan Sh. Effects of ovariectomy or orchidectomy and estradiol valerate or testosterone enanthate replacement on serum insulin in rats. *Pak J Biol Sci* 2008; 11: 306-8.
 11. Ganesan K, Bulachandran C, Manohar BM, et al. Comparative studies on the interplay of testosterone, estrogen and progesterone in collagen induced arthritis in rats, *Bone* 2008; 43: 758-65.
 12. Luo Y, Kaur C, Ling EA. Neuronal and glial response in the rat hypothalamus-neurohypophysis complex with streptozotocin-induced diabetes. *Brain Res* 2002; 925: 42-54.
 13. Okokon JE, Antia BS, Ita BN. Antidiabetic effects of *Homalium letestui* (Flacourtiaceae) in streptozotocin induced diabetic rats. *Res J Medicinal Plant* 2007; 1: 134-8.
 14. Shahabadin MS, Pour-Amir M, Moghadam-Nia AA, et al. Evaluating Protective effect of grape seed suspension on glucose, insulin and total antioxidant levels after alloxan injection in rat. *J Feyz of Medical Science* 2008; 12: 28-33.
 15. Noorafshan A, Esmail-Zadeh B, Bahmanpoor S, et al. A Stereological Study on the Liver in the Early Stages of Streptozotocin-Induced Diabetes Mellitus in Rats. *J Med Res* 2004; 2: 10-9.
 16. Heidari Z, Mahmoudzadeh-Sagheb HR, Noori Mugahi MH, et al. A stereological analysis of renal glomeruli following chronic lead intoxication in rat during α continuous period of 8 weeks. *Acta Medica Iranica* 2002; 40: 73-8.
 17. Edward M, Lichten MD. Testosterone's overlooked role in the treatment of diabetes in men. *LifeExtension* (Accessed in July 21, 2012, at http://www.lef.org/magazine/mag2007/jul2007_report_diabetes_01.htm).
 18. Bergamini E. Different mechanisms in testosterone action on glycogen metabolism in rat perineal and skeletal muscles. *Endocrinology* 1975; 96: 77-84.
 19. Morimoto S, Mendoza-Rodriguez CA, Hiriart M, et al. Protective effect of testosterone on early apoptotic damage induced by streptozotocin in rat pancreas. *J Endocrinol* 2005; 187: 217-24.
 20. Morimoto S, Fernandez-Mejia C, Romero-Navarro G, et al. Testosterone effect on insulin content, messenger ribonucleic acid levels, promoter activity, and secretion in the rat. *Endocrinology* 2001; 142: 1442-7.
 21. Kapoor D, Goodwin E, Channer KS, et al. Testosterone replacement therapy improves insulin resistance, glycemic control, visceral adiposity and hypercholesterolemia in hypogonadal men with type 2 diabetes. *Eur J Endocrinol* 2006; 154: 899-906.
 22. Saengsirisuwan V, Pongseeda S, Prasannarong M, et al. Modulation of insulin resistance in ovariectomized rats by endurance exercise training and estrogen replacement. *Metabolism* 2009; 58: 38-47.
 23. Hamden K, Carreau Sboujbiha MA, et al. Hyperglycemia, stress oxidant, liver dysfunction and histological changes in diabetic male rat pancreas and liver: protective effect of 17 β -estradiol. *Steroids* 2008; 73: 495-501.
 24. Ahlbom E, Prins GS, Ceccatelli S. Testosterone protects cerebellar granule cells from oxidative stress-induced cell death through a receptor mediated mechanism. *Brain Res* 2001; 23: 255-62.
 25. Alexaki VI, Charalampopoulos I, Kampa M, et al. Estrogen exerts neuroprotective effects via membrane estrogen receptors and rapid Akt/NOS activation. *FASEB J* 2004; 18: 1594-6.
 26. Sotiriadou S, Kyparos A, Mougios V, et al. Estrogen effect on some enzymes in female rats after downhill running. *Physiol Res* 2003; 52: 743-8.

*Original Article**Effect of testosterone on pancreatic beta cells resistance and blood glucose control in diabetic male rats by streptozotocin**S. Mansoorpoor¹, Z. Azizi¹, S. Asaie¹, GH. Ranjbar Omrani^{1*}**¹Endocrinology and Metabolism Research Center, School of Medicine, Shiraz University of Medical Sciences, Fars, IRAN*

(Received 16 Feb, 2011 Accepted 3 May, 2011)

Abstract

Background: Diabetes mellitus (DM) is the most common carbohydrate metabolic disorder, with defective insulin secretory or insulin receptor function, or both. We examined the protective effect of testosterone against the destruction of pancreatic β -cells by streptozotocin (STZ).

Material and Methods: This empirical cross-sectional research involved 56 adult male rats (mean wt 220 g) randomized to: group 1, food and water; group 2, olive oil injection; group 3, STZ-induced DM; group 4, castrated rats; group 5, gonadectomy + STZ; group 6, gonadal hormone + STZ; group 7, gonadal hormone + STZ + gonadal hormone. Testosterone enanthate was injected intramuscularly (50 mg/kg in group 6, 4 weeks before DM induction, and 50 mg/kg in group 7, 4 weeks before and 2 weeks after DM). Diabetes was induced by 60 mg/kg, intraperitoneal STZ (STZ; 20130 Sigma-Aldrich) in citrate buffer. Data were analyzed using SPSS16 software.

Results: In groups 6 and 7 (testosterone) blood glucose was significantly lower than in groups 3 and 5 ($P \leq 0.001$). Groups 6 and 7 also had higher serum insulin concentrations ($P \leq 0.05$) and absolute numbers of islet cells compared to other groups ($P \leq 0.001$).

Conclusion: Testosterone exerted a protective effect against early STZ-induced apoptotic damage to pancreatic β -cells.

Keywords: testosterone, pancreas, streptozotocin, stereology

*Address for correspondence: Endocrinology and Metabolism Research Center, School of Medicine, Shiraz University of Medical Sciences, Fars, IRAN; E-mail: hormone@sums.ac.ir